

# دراسة الأيقاف والتقطيع النووي للأيونات الثقيلة السريعة باستخدام جهد توماس- فيرمي

## Investigation the Nuclear stopping and Straggling of Swift heavy Ions Using Thomas- Fermi Potential

م. م. زينب شاكرناصر  
قسم الفيزياء/ كلية العلوم/ الجامعة المستنصرية  
بغداد- العراق

Asis. Luct, Zainab SH. Nasir  
Department of Physics, College of Science, Al-Mustansirya  
University, Baghdad, Iraq

### المستخلص

في الدراسة الحالية تم وضع معادلة تعتمد على المقطع العرضي التفاضلي للأيقاف النووي  $d\sigma_n$  لحساب التقطيع النووي لفقدان الطاقة من أيون البيورانيوم  $^{235}_{92}\text{U}$  والتفاعل مع نواة الألمنيوم  $^{26}_{13}\text{Al}$  وكذلك الذهب  $^{197}_{79}\text{Au}$ . هذه المعادلة تربط العلاقة بين التقطيع النووي وطاقة الأيون الساقط وعده الذري. النموذج النظري الحالي لهذا العمل هو افتراض أن نواة الهدف ساكنة والجهد بين الأيون والنواة و هو جهد توماس- فيرمي وتم تطبيقه بمراتب آسية مختلفة للمعامل  $\alpha$ . النتائج التي تم الحصول عليها للتقطيع فقدان الطاقة من أيون البيورانيوم سواء في الهدف العالي الكثافة (الذهب Au) او الهدف الواطئ الكثافة (الألمنيوم Al) كانت متوافقة مع النتائج العملية لدراسات سابقة. المعادلات الأساسية تم كتابتها بلغة 90 Fortran تم تنفيذها بالبرنامج CVF6.6

### Abstract

In the present work we has been proposed an equation depends on unclear differential stopping cross section  $d\sigma_n$  to evaluate the nuclear straggling of energy loss for uranium ion interacts with aluminum  $^{26}_{13}\text{Al}$  and gold  $^{197}_{79}\text{Au}$  nuclei. The equation is connection between nuclear straggling with energy and atomic number of heavy swift ion. The present theoretical model for this work considers the nucleus of target atom as stationary state besides the ion-nucleus potential is Thomas-Fermi potential which applied with different values of  $\alpha$ . The results which obtained for straggling of energy loss of uranium in the high density target (Gold: Au) and low density target (Aluminum: Al) were in agreement with previous studies. The basic equations have been written in Fortran-90 using CVF6.6 for executing the program.

## 1. المقدمة Introduction

أن دراسة التطوح النووي Nuclear straggling للأيونات الثقيلة يعتبر من المواضيع المهمة لما تناهه من الاهتمام في أبحاث التفاعلات النووية وأجهزة الكشف النووي بالإضافة إلى دراسة البلورات. هناك الكثير من البحوث والدراسات قام بها الباحثون حيث وجدوا أن التطوح النووي لفقدان الطاقة يزداد بزيادة سمك الوسط المادي للهدف [1] ويعتمد على طور الوسط [2] علاوة على ذلك وجدوا التطوح لا يعتمد على سرعة الأيون إذ كان الوسط قليل الكثافة (خفيفا) [3].

الدراسة الحالية تهدف لحساب المقطع العرضي للإيقاف النووي باستخدام T-F potential بمراتب آسيّة ( $\alpha > 1$ ) مختلفة بحيث (1) ومن ثم حساب التطوح النووي لفقدان الطاقة وبيان تأثير التطوح الإلكتروني بالظروف نفسها. ولكي تكون الدراسة وافية تم الأخذ بنظر الاعتبار الشحنة الفعالة للايون.

## 2. الأساس النظري : Basic Theory

الأيونات الثقيلة السريعة swift heavy ions تفقد جزء من طاقتها الحركية عندما تخترق مادة هدف الطاقة المفقودة جزء منها ينتقل إلى الكترونات ذرات الهدف خلال عمليات التصادم غير المرن inelastic collisions بينما الجزء الآخر ينتقل إلى أنوبيات ذرات الهدف خلال عمليات التصادم المرن elastic collisions، معدل فقدان الطاقة mean energy loss أثناء التفاعل خلال وحدة المسار يمثل حاصل جمع التأثيرين الإلكتروني والتوضيحي [4]. وأن التقلب الإحصائي لفقدان الطاقة خلال وحدة المسار يقصد به بالتطوح Straggling [5].

### 2 - 1 التطوح الإلكتروني : Electronic Straggling

أن التطوح الإلكتروني ( $\Omega_e^2$ ) للأيونات السريعة swift ions ذات العدد الذري  $Z_1$  المخترقة وسط مادي سمكه  $R$  وعده الذري  $Z_2$  وكثافة ذرية  $N$  يحسب بالعلاقة [6] ،

$$\frac{\Omega_e^2}{N \Delta R} = 4\pi e^4 Z_1^2 Z_2 \quad (1)$$

هذه العلاقة تم تطويرها من قبل ليندھارد [7] وذلك بتقسيم السحابة الإلكترونية التي تحيط نواة كل ذرة إلى منطقتين بالأعتماد على متغير الطاقة المختزلة reduced energy variable  $x = \frac{v^2}{v_0^2 Z_2}$  ، حيث  $v$  سرعة الأيون و  $v_0$  تمثل سرعة بور Bohr و أن مقدار ( $x$ ) يمثل  $x = \frac{v^2}{v_0^2 Z_2}$  ، حيث  $v$  سرعة الأيون و  $v_0$  تمثل سرعة بور Bohr ( $v_0 = 0.529 \text{ A}^0 = 1 \text{ amu}$ ) .

ويعبر عن التطوح الإلكتروني بالعلاقة :

$$\left(\frac{\Omega^2}{N_{\Delta R}}\right)_n = \begin{cases} \frac{1}{2} L(x), & x \leq 3 \\ 1, & x > 3 \end{cases} \quad (2)$$

$L(x)$  تمثل عدد الأيقاف الذري atomic stopping number وفقاً لنموذج ذرة Thomas-Fermi و يأخذ الصيغة:

$$L(x) = 1.36x^{1/2} - 0.016x^{3/2} \quad (3)$$

## 2-2 التطوح النووي : Nuclear straggling

تفاعل الأيون مع النواة يعتمد على المقدار الأساسي للمقطع العرضي النووي  $\sigma_n$  للتفاعل. على كل حال فإن الطاقة المنتقلة من الأيون إلى النواة لن تكون متساوية تماماً [8] في كل تصادم منفرد يحدث (individual collision) لذلك يتوجب اعتماد المقطع العرضي النووي التقاضي (differential nuclear cross section  $d\sigma_n$ ) وعلى هذا الأساس يتطلب التعامل مع هذا

الحالة بالطبيعة الإحصائية من أجل الدقة في الحسابات.

عند مرور أيون شحنته  $Z_1 e$  وطاقته الحركية  $E$  خلال وسط مادي سماه  $\Delta R$  فإنه يعني عدد من التصادمات  $N$  (حيث  $N$  الكثافة الذرية للوسط) مع أنوية ذرات الوسط المادي وعليه فإن المقطع العرضي للأيقاف النووي  $S_n$  يحسب بالعلاقة الآتية [9]:

$$S_n = \int_0^{T_m} T d\sigma_n \quad (4)$$

حيث  $T_m$  هي أعظم طاقة منتقلة من الأيون إلى النواة و  $T$  تمثل الطاقة المنتقلة إلى نواة واحدة في حالة سكون. في كل تصادم هناك كمية معينة من الطاقة  $T$  تنتقل إلى ذرات الوسط ويسبب ان هذه التصادمات منفصلة (متزامنة) وعشوانية لذا فإن معدل مربع الطاقة المفقودة ( $\Delta E$ ) يمثل معدل مربع الانحراف المعياري ( $\Omega^2$ ) ومن خلاله نحصل على التطوح النووي لفقدان طاقة الأيون خلال وحدة المسار بالعلاقة:

$$\left(\frac{\Omega^2}{N_{\Delta x}}\right)_n = \int_0^{T_m} T^2 d\sigma_n \quad (5)$$

وأن أعظم طاقة منتقلة  $T_m$  تحسب بالصيغة الآتية:

$$T_m = \frac{4M_1 M_2}{(M_1 + M_2)^2} = vE \quad (6)$$

حيث  $M_1, M_2$  هما كتلة الأيون وكتلة النواة على التوالي، أما  $\nu$  فهو ثابت يمثل:

$$\nu = \frac{4M_1 M_2}{(M_1 + M_2)^2} \quad (6a)$$

وبذلك نستطيع وضع معادلة تحسب للتطوح النووي من خلال الصيغة المناسبة والمعتمدة على افتراضاتاً للنموذج النظري لبحثنا هذا لكل من المقطع العرضي للأيقاف النووي  $S_n$  والمعتمد على المقطع العرضي النووي التفاضلي  $d\sigma_n$ .

### 3-2 المقطع العرضي التفاضلي النووي:

#### Nuclear differential cross section

تم افتراض أن الجهد بين الأيون والنواة هو جهد Thomas-Fermi والذي يعطى بالعلاقة [10]:

$$V(a_{12}) = \frac{Z_1 Z_2 e^2}{\alpha a_{12}^\alpha} \quad a^{\alpha-1} \quad (7)$$

هنا  $a_{12}$  هو البعد بين الأيون والنواة ويحسب بالصيغة:

$$a_{12} = 0.8853 a_0 \left( Z_1^{2/3} + Z_2^{2/3} \right)^{-1/2} \quad (8)$$

حيث  $a_0$  هي نصف قطر بور (Bohr radius) أما المقدار 0.8853 فهو يمثل ثابت توماس-فيرمي T-F constant وباستخدام المعادلة (8) تم التوصل إلى وضع العلاقة التي بموجبها يمكن أيجاد المقطع العرضي التفاضلي النووي بالمعادلة:

$$d\sigma_n = \frac{C_n}{T_m^{1-\frac{1}{\alpha}}} \frac{dT}{T^{1+\frac{1}{\alpha}}} \quad (9)$$

حيث  $C_n$  ثابت يرتبط بعلاقة مع معامل التصادم  $b$  والبعد بين الأيون الساقط ونواة ذرة الهدف  $a_{12}$  وأعظم طاقة منتقلة  $T_m$ . ويعبر عن  $C_n$  بالعلاقة:

$$C_n = \frac{\pi}{\alpha} \left( b^2 a_{12}^{2\alpha-2} \frac{3\alpha-1}{8\alpha^2} \right)^{1/\alpha} T_m \quad (10)$$

حيث نصف قطر التصادم  $b$  والمعتمد على الكتلة المخزنة  $M_0$  وعوامل أخرى يمثل بالصيغة الآتية:

$$b = \frac{2Z_1 Z_2 e^2}{M_0 v^2} ; M_0 = \frac{M_1 M_2}{M_1 + M_2} \quad (11)$$

من المعادلتين (9) و(10) تم التوصل الى وضع الصيغ الرياضية لكل من المقطع العرضي

$$\text{للأيقاف النووي } S_n \text{ والتطوح النووي لفقدان طاقة الأيون} = \left( \frac{\Omega^2}{N_{\Delta x}} \right)_n$$

### الحسابات : Calculations : 3

1-3 صياغة معادلة المقطع العرضي للأيقاف النووي:  
Formalization the Equation of Nuclear Stopping Cross Section

تعويض المعادلة (9) في المعادلة (4) ينتج :

$$S_n = \frac{C_n}{T_m^{1-\frac{1}{\alpha}}} \int_0^{T_m} \frac{T dT}{T^{1+\frac{1}{\alpha}}} \quad (12)$$

وبإجراء التكامل مع التعويض عن  $C_n$  من المعادلة (10) مع الترتيب وكما هو موضح في الملحق (A) تم الحصول على المعادلة أدناه:

$$S_n = \left( \frac{\pi}{\alpha-1} \right) (Z_1 Z_2 e^2)^{\frac{2}{\alpha}} \left( \frac{M_1}{M_2} \frac{3\alpha-1}{2\alpha^2} \right)^{1/\alpha} \left( a_{12} V^{\frac{1}{2}} \right)^{(2-\frac{2}{\alpha})} \times E^{(1-\frac{2}{\alpha})} ; \quad \alpha > 1 \quad (13)$$

وبحدود أفترضنا لاستخدام جهد T-F والذي يصبح كجهد كولوم Coulomb potential في الحالة التي يكون فيها  $\alpha = 2$  ، ولذلك اذا عوضنا معادلة (8) مع هذه الشرط في المعادلة (13) نحصل على:

$$S_n = \frac{\pi^2 e^2 a_0}{2.1783} \frac{Z_1 Z_2}{(Z_1^{2/3} + Z_2^{2/3})^{1/2}} \frac{M_1}{M_1 + M_2} \quad (14)$$

المعادلة (13) تم برمجتها بالبرنامج المخصص وذلك باخذ قيم مختلفة لـ  $\alpha$  (1.44, 1.46, 1.47, 1.48, 1.49 and 1.5) وضمن طاقات مختلفة لأيون اليورانيوم بحيث تحقق التصادم المرن حيث ( $E=0.01-70 \text{ Mev}$ ) لمعرفة تأثير هذا العامل بأعتماد الشحنة الفعالة وبدون أعتمادها . النتائج التي تم التوصل اليها هي كما في الشكل (1) والشكل (2).

وكذلك تم دراسة علاقة المقطع العرضي للأيقاف النووي  $S_n$  مع المعامل  $\alpha$  ولنفس القيم أعلاه ولكن كان لثلاث طاقات معينة ( $E_1=0.5$ ,  $E_2=2.5$ ,  $E_3=12$  MeV) وتم الحصول على النتائج الموضحة في الشكل (2).

### 2-3 حساب التطوح النووي لفقدان الطاقة من أيون U في هدفي Al و Au Calculation of the Nuclear Straggling of Uranium Ion on Al and Au-Targets

بتعمير المعادلة (5) في المعادلة (5) حصلنا على:

$$\left(\frac{\Omega^2}{N_{\Delta x}}\right)_n = \frac{C_n}{T_m^{1-\frac{1}{\alpha}}} \int_0^{T_m} T^{1-\frac{1}{\alpha}} dT \quad (15)$$

وبإجراء التكامل للمعادلة (15) مع التعويض عن  $C_n$  بدلالة  $S_n$  كما وضحنا ذلك سابقاً وعن  $T_m$  بـ  $\sqrt{E}$  من المعادلة (6) مع ترتيب المتغيرات وكما موضح في الملحق (B) حصلنا على العلاقة الآتية:

$$\left(\frac{\Omega^2}{N_{\Delta x}}\right)_n = \frac{(\alpha-1)}{(2\alpha-1)} V S_n E \quad (16)$$

المعادلة (16) تم برمجتها بالبرنامج المخصص لهذا العمل بأخذ قيم مختلفة لـ  $\alpha$  وكالسابق ضمن ذات المدى للطاقة E لأيون اليورانيوم وطبقت على هدفي الألمنيوم والذهب والنتائج التي تم التوصل إليها هي كما في الشكل (3).

### 3-3 مقدار التطوح الإلكتروني لفقدان الطاقة من أيون اليورانيوم: Magnitude of Electronic Straggling of Energy loss for Uranium Ion

أن التطوح الإلكتروني لفقدان الطاقة يحسب بالمعادلة (2). تم تطبيق هذه المعادلة لأيون اليورانيوم  $^{235}\text{U}_{92}$  في الأهداف الخفيفة مثل  $^{26}\text{Al}_{13}$  والأهداف الثقيلة مثل الذهب  $^{197}\text{Au}_{79}$  وبأخذ متغير الطاقة ( $x$ ) بدلالة طاقة الأيون والعدد الذري للهدف بالوحدات الذرية بالعلاقة:

$$x = \frac{E(\text{MeV})}{Z_2 A_1} \quad (17)$$

حيث  $x$  تتغير وفقاً للمدى الطافي الذي عملنا به بدون الاعتماد على العامل  $\alpha$  لبيان نسبة

تأثير التطوح الإلكتروني في مقدار التطوح الكلي لفقدان الطاقة من الأيون ضمن العلاقة التي تجمع التأثيرين النووي وال الإلكتروني:

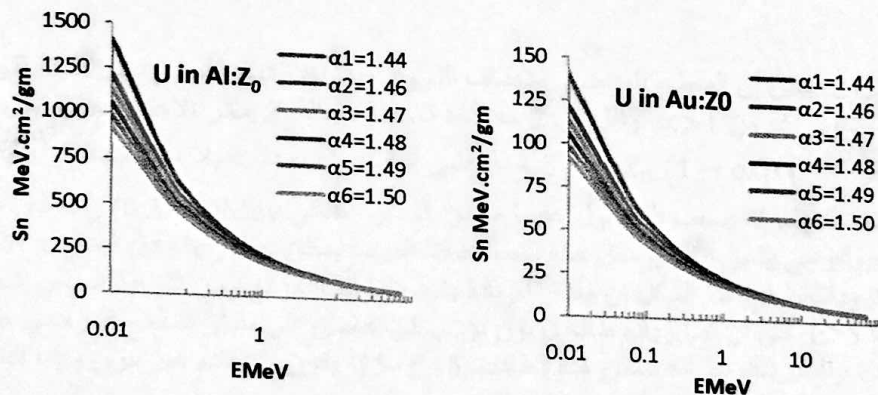
$$\left(\frac{\Omega^2}{N_{\Delta x}}\right)_t = \left(\frac{\Omega^2}{N_{\Delta x}}\right)_n + \left(\frac{\Omega^2}{N_{\Delta x}}\right)_e \quad (18)$$

المعادلتين(2) و(17) تم برمجتها ولقد تم التوصل إلى السلوك الظيفي ضمن المدى الطاقي( $E=0.01-1 \text{ MeV}$ ) وقد تم إجراء مقارنة بين سلوك الأيقاف النووي وال الإلكتروني لأيون اليورانيوم في كل من هدفي الألمنيوم والذهب وفق النتائج المبينة في الشكل (6).

#### 4. النتائج والمناقشة : Results and Discussion :

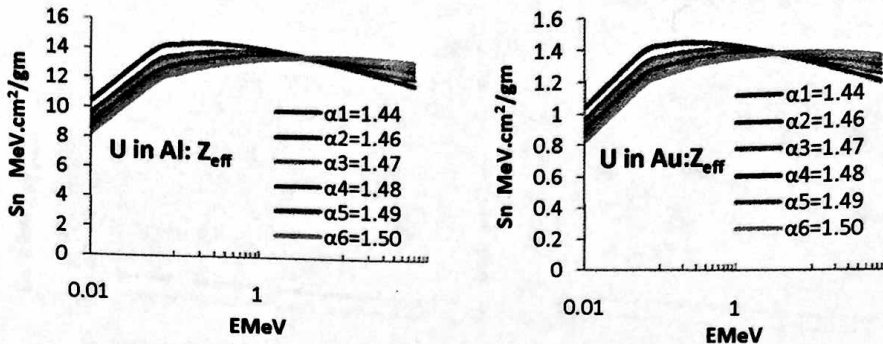
**1-4 حساب المقطع العرضي النووي لأيون اليورانيوم في مدى الطاقة ( $E=0.01-70 \text{ MeV}$ )**  
**Calculation of the Nuclear Cross Section of Uranium Ion within Energy Range ( $E=0.01-70 \text{ MeV}$ )**

المقطع العرضي النووي للأيونات الثقيلة جدا يقل بزيادة الطاقة لكن ليس لكل المديات وأنما المقطع العرضي النووي للأيونات الثقيلة جدا يقل بزيادة الطاقة لكن ليس لكل المديات وأنما ضمن الطاقات الواطنة بدون الأخذ بنظر الاعتبار الشحنة الفعالة.



الشكل (1): المقطع العرضي النووي لأيقاف أيون اليورانيوم في هدف الألمنيوم والذهب بدون تأثير الشحنة الفعالة

ولكن المقطع العرضي النووي للأيونات الثقيلة مثل اليورانيوم ووقف المدى الطaci المطبق يزداد بزيادة الطاقة لكن ليس لكل المديات وأنما ضمن الطاقات الواطنة [11] باخذ النظر بالشحنة الفعالة وان :  $S_n \propto E^{(1-\frac{2}{\alpha})}$



الشكل (2): المقطع العرضي النووي لأيقاف أيون اليورانيوم في هدف الألمنيوم والذهب بتأثير الشحنة الفعالة ( $Z_{eff}$ )

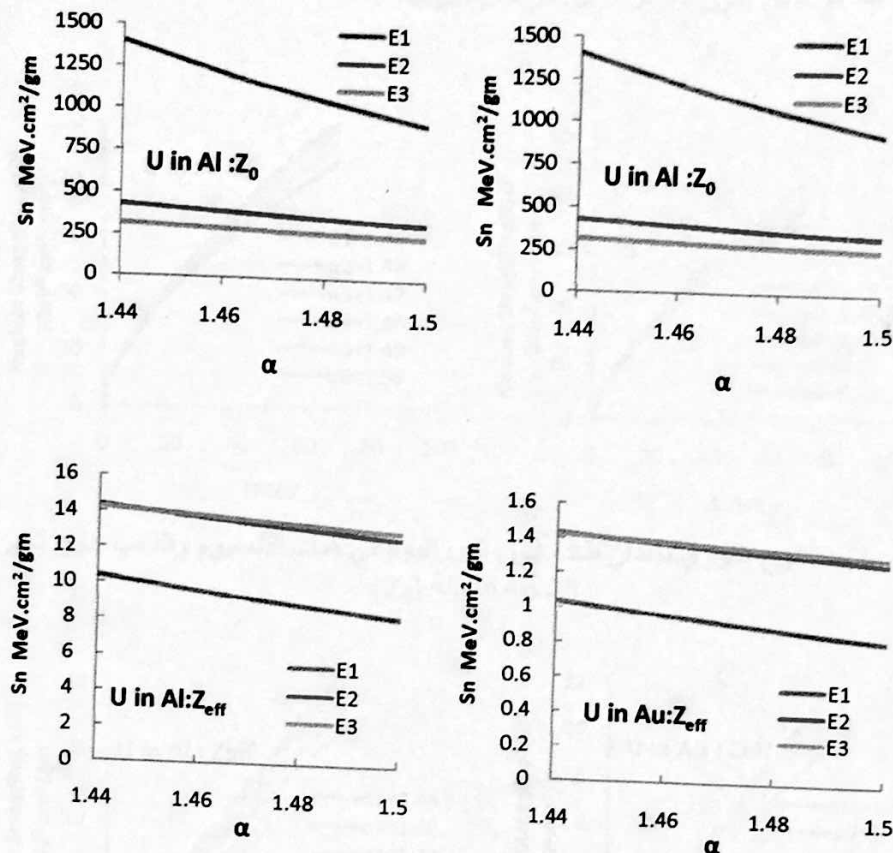
الشكل(1) يبين أن المقطع العرضي للأيقاف النووي يبدأ بالنقصان كلما زادت الطاقة لقيم  $\alpha$  إلى حد معين من الطاقة وكل قيمة أكبر من  $\alpha=1.44$  وأقل من 1.5 . ويلاحظ هنا بالمقارنة مع الحالة التي ندخل فيها تأثير الشحنة الفعالة وبال مدى الطaci نفسه فالسلوك يكون معكوساً و كما هو في الشكل (2).

الشكل(2) يبين أن المقطع العرضي للأيقاف النووي يبدأ بالأزيداد كلما زادت الطاقة لقيم  $\alpha$  بحيث تكون أكبر من  $1 < \alpha < 2$  عندأخذ الشحنة الفعالة  $Z_1$  بنظر الاعتبار حيث تمثل [5]  $Z_1 = Z_0 (1 - \exp(-\frac{0.92 v}{v_0 Z_1^{2/3}}))$ . هذا يعني أنه كلما ابتعدنا قليلاً عن جهد كولوم فإن التصادمات المرنة صعب الحصول عليها ضمن المدى الطaci (MeV) (0.1-10) ولذا فإن جهد توماس فيرمي يشير إلى أن مثل هذه التصادمات المرنة يمكن حصولها وفق قيمة  $\alpha$  الأمثل ولذلك ويلاحظ في هذا الشكل ان مقدار الزيادة يأخذ بالتزايد السريع ومن التزايد السلس البسيط عندما  $E > 5$  إلى أن تبدا زيادة طاقة الأيون تؤدي إلى نقصان في مقدار المقطع العرضي عندما  $E > 15$  وتفسير ذلك هو انه ضمن هذه الطاقات  $E > 15$  يكون التصادم غير مرن ويبدا المقطع العرضي الإلكتروني بالأزيداد عند  $E > 15$ .

هذه النتائج النظرية للعمل الحالي تتفق مع الدراسات السابقة [12] وأن المقارنة بين الهدفين Al بالنسبة لليورانيوم فإنه يلاحظ كلما أزداد العدد الكتلي للهدف كلما قل المقطع العرضي النووي بثبوت طاقة الأيون. وأن نسبة المقطع العرضي للهدف الخفيف و التقليل تعادل ست مرات وذلك يعود إلى ما يقارب مقلوب نسبة أعدادهم الكتلة (197/26).

## 2-4 تأثير $\alpha$ -factor

أن تأثير  $\alpha$ -factor في المقطع العرضي النووي بدء واضحًا باستخدامنا جهد T-F ولقد وجدنا أفضل مقدار له هو 1.5 لهذا العامل.



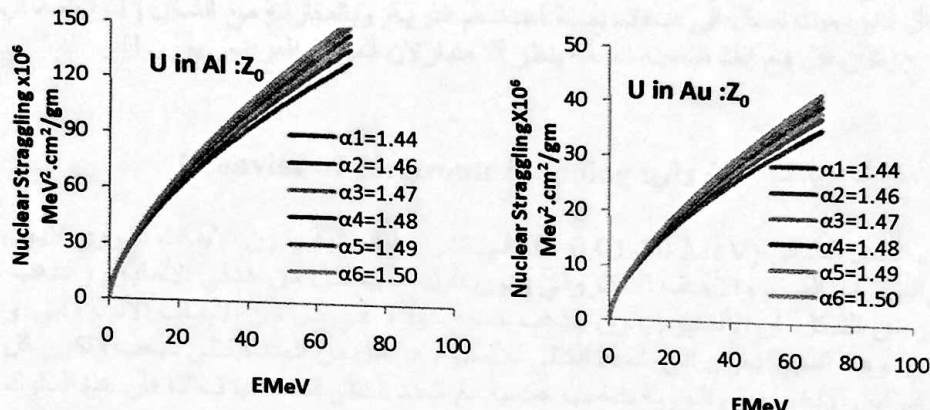
الشكل (3): علاقة المقطع العرضي النووي لفقدان طاقة أيون اليورانيوم بدلالة  $\alpha$  في هذف الألمنيوم والذهب بدون الشحنة ( $Z_0$ ) الفعالة وبوجودها ( $Z_{eff}$ )

الشكل (3) يبين أن المقطع العرضي النووي باختيار ثلاثة قيم ثابتة لطاقة الأيون. القيم المعينة التي اختيرت هي  $2.5 \text{ MeV}$  [12] و  $0.5$  [2.5]. ضمن هذه القيم يكون المقطع العرضي النووي كبيراً كلما كانت  $\alpha$  أقرب إلى الواحد أي الابتعاد أكثر عن جهد كولوم (والذي يحصل عندما  $(\alpha=2)$ ).

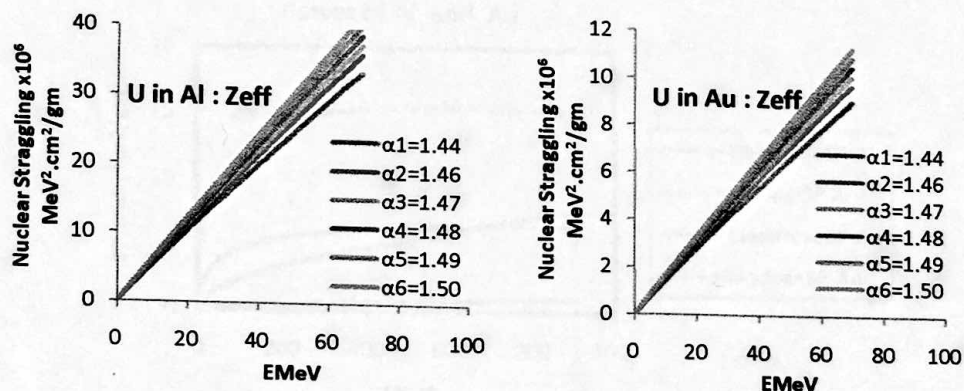
اما عندما يكون  $\alpha < 2$  فان احتمالية حدوث التفاعل المرن تكون احتمالية قليلة جداً أما اختيار القيمة الافضل عملياً يتم تحديدها من خلال جهد الاستخلاص لأيون اليورانيوم القاصف ضمن المدى الطيفي المطبق. حيث الجهد المطبق ( $V$ ) وبعد  $a_{12}$  مما يحدّد القيمة المناسبة لـ  $\alpha$ .

### 3-4 تأثير العدد الذري لمادة الهدف: Effect the Atomic Number of Target material

التطوح النووي يعتمد على المقطع العرضي النووي الذي سبق وان تم مناقشته ولذلك وجد انه يسلك السلوك نفسه بالزيادة ولكن ليس بالنسبة نفسها وإنما بنسبة جذرها التربيعي . تأثير العدد الذري هنا هو الذي يكون العامل الآخر المراد توضيحه.



الشكل (4): التطوح النووي لفقدان طاقة أيون اليورانيوم في هدف الألمنيوم والذهب بدون تأثير الشحنة الفعالة ( $Z_0$ )



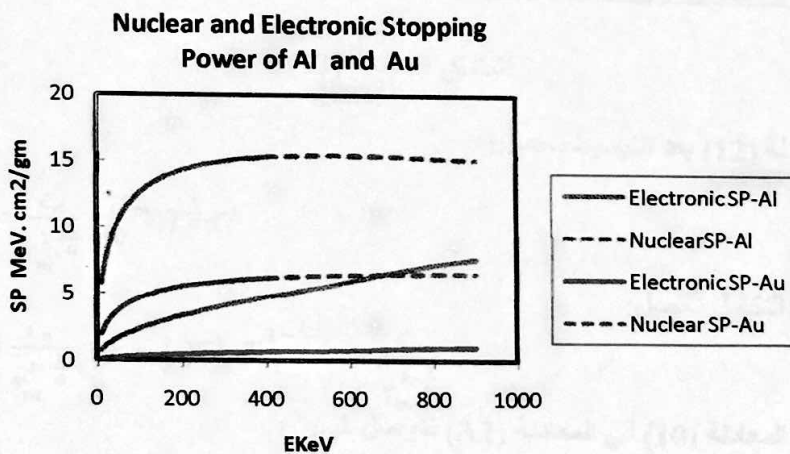
الشكل (5): التطوح النووي لفقدان طاقة أيون اليورانيوم في هدف الألمنيوم والذهب بتأثير الشحنة الفعالة ( $Z_{\text{eff}}$ )

الشكل (4) يبين أن التطوح النووي يزداد بازدياد الطاقة ضمن المدى ( $E=0.01-70\text{ MeV}$ ) في حالة عدم اخذ الشحنة الفعالة بنظر الاعتبار والمقارنة مع الحالة التي يوخذ فيها تأثير الشحنة الفعالة يلاحظ التغير كما هو في الشكل (5)

الشكل (5) يبين أن التطوح النووي يزداد بازدياد الطاقة في حالة أخذ الشحنة الفعالة بنظر الاعتبار ضمن المدى ( $E=0.01-70\text{ MeV}$ ) ويلاحظ في الشكل أن التطوح يتغير خطياً مع الطاقة لقيم  $\alpha$  العالية وهذه النتيجة تدل على أن جهد  $T.M$  يراعي تغير المسافة بين  $\text{ion-nucleus}$  والذي يكون متغير مع الزمن اذ يقل كلما اقترب الأيون من النواة. أما من حيث المقارنة مع المصدر [13] من خلال العدد الذري فأن الوسط الأكبر كثافة يكون فيه احتمالية التفاعل أكبر بحيث تصل إلى ضعف نسبة أعدادهم الذرية. وبالمقارنة مع الشكل (1) لوحظ ان التطوح يكون أقل مع اخذ الشحنة الفعالة بنظر الاعتبار لأن المقطع العرضي يكون أكبر.

### 3-4 سلوك الأيقاف الإلكتروني: Behavior of Electronic Stopping

ضمن المدى الطاقي ( $E=0.01-70\text{ MeV}$ ) في الدراسة الحالية يكون الأيقاف النووي لأيون اليورانيوم هو السائد والأيقاف الإلكتروني يكون قليلاً نسبياً لكل من هدفي الألمنيوم والذهب. ويبعد من الشكل أن الألمنيوم يفوق الذهب بنسبة كبيرة في كل من الأيقاف الإلكتروني و النووي وهذا بسبب يعزى إلى العدد الكتلي للألمنيوم هو أقل من العدد الكتلي للذهب ولكن كل من القدرتين الإلكترونية والنوية تتاسب عكسياً مع العدد الكتلي لمادة الهدف لذا فإن هذا السلوك يوضحه الشكل (6).



الشكل (6): الأيقاف الإلكتروني والنويي لأيون اليورانيوم في هدف الألمنيوم والذهب

الشكل (6) يبين أن الأيقاف الإلكتروني يكون سائداً ويزداد بعلاقة أسيّة مع الطاقة ضمن المدى الواسع من الطاقات ولكن ان سلوكه يتحول إلى خطٍّي عند الطاقات العالية بحيث أن زيادة الطاقة فوق 400KeV تجعل التوقف الإلكتروني يبدأ بالزيادة الخطية مع بدء توقف التصادمات

المرنة. هنا نقارن بين الأيقاف الإلكتروني ولكل من الألمنيوم والذهب واتضح أن الكثافة الذرية تلعب الدور المهم في مقدار الأيقاف ومن ثم في التطوح بالمقارنة مع الدراسة السابقة [14]

## 5. الاستنتاجات : Conclusions

أن تطبيق المعادلة التي تم وضعها لحساب المقطع العرضي للأيقاف النووي وحساب التطوح النووي للأيونات الثقيلة السريعة وفي بحثنا هذا طبقت على أيون اليورانيوم ولهذ خفيض (الألمنيوم) وأخر كثيف (الذهب) أعطت دلائل على أن استخدام T-F يكون مناسباً بحسبأخذ تغير البعد بين الأيون والنواة أثناء التفاعل مما يؤدي إلى الدقة أكثر في الحسابات وتكمّن هذه الدقة من خلال مقدار  $\alpha$ -factor.

ولقد تم الاستنتاج بأنه: كلما كانت قيمة  $\alpha$  أقل من 2 وأكبر من 1 كلما كان حساب المقطع العرضي النووي أكثر احتمالاً و التطوح النووي يكون محسوباً بدقة أعلى وأفضل مقدار  $\alpha$  هو 1.5 وكلما كان الهدف ذو عدد ذري كبير كلما قل المقطع العرضي النووي من ضمن المعادلة التي تم وضعها أن نسبة التطوح تكون بمقدار الجذر التربيعي لنسبة المقطع العرضي لهما تقريباً، حيث كانت نسبة المقطع العرضي بينهما تساوي 10 ، أما نسبة تطوحهما تساوي 3.1 على الرغم من أن هناك شرط مهم هو عملية تكوين المقطع العرضي النووي والذي يتطلب أن تكون طاقة الأيون محققة لطيف السرعة للتصادم المرن (منطقة السرع الواطنة)

$$\nu_0 Z_1^{2/3} < \nu < 0$$

### Appendix A أشتقاق المعادلة (13)

من المعادلة (12) بعد التبسيط نحصل:

$$S_n = \frac{C_n}{T_m^{1-\frac{1}{\alpha}}} \int_0^{T_m} T^{\frac{1}{\alpha}} dT \quad (A1)$$

وبإجراء التكامل نحصل:

$$S_n = \frac{C_n}{T_m^{1-\frac{1}{\alpha}}} \left(1 - \frac{1}{\alpha}\right)^{-1} T_m^{1-\frac{1}{\alpha}} = \frac{C_n}{T_m^{1-\frac{1}{\alpha}}} \quad (A2)$$

بتعويض المعادلة (10) في المعادلة (A2) نتوصل إلى:

$$S_n = \frac{\pi}{\alpha} \left(\frac{1}{1-\frac{1}{\alpha}}\right) \left(\frac{2Z_1 Z_2 e^2}{M_0 v^2} - \frac{3\alpha-1}{8\alpha^2}\right)^{\frac{1}{\alpha}} \quad (A3)$$

دمج المعادلات (6) و (11) و (A3) ينتج :

$$S_n = \left( \frac{\pi}{\alpha-1} \right) (Z_1 Z_2 e^2)^{\frac{2}{\alpha}} \left( \frac{M_1}{M_2} \frac{3\alpha-1}{2\alpha^2} \right)^{1/\alpha} \left( a_{12} V^{\frac{1}{2}} \right)^{(2-\frac{2}{\alpha})} \times E^{(1-\frac{2}{\alpha})} ; \quad \alpha > 1 \quad (A4)$$


---



---

### Appendix B أشتقاق المعادلة (16)

$$\left( \frac{\Omega^2}{N_{\Delta x}} \right)_n = \frac{C_n}{T_m^{1-\frac{1}{\alpha}}} \int_0^{T_m} T^{1-\frac{1}{\alpha}} dT \quad \text{من المعادلة (15)}$$

وبعد أجراء التكامل نحصل:

$$\left( \frac{\Omega^2}{N_{\Delta x}} \right)_n = \frac{C_n}{2-\frac{1}{\alpha}} \quad \frac{T_m^{2-\frac{1}{\alpha}}}{T_m^{1-\frac{1}{\alpha}}} = \frac{C_n}{2-\frac{1}{\alpha}} \quad T_m \quad (B1)$$

وبالتعويض عن  $T_m$  من المعادلة (6) و  $C_n$  بالعلاقة  $(1 - \frac{1}{\alpha}) S_n = (1 - \frac{1}{\alpha}) C_n$  نحصل على:

$$\left( \frac{\Omega^2}{N_{\Delta x}} \right)_n = \frac{1-\frac{1}{\alpha}}{2-\frac{1}{\alpha}} \quad V S_n E \quad (B2)$$

وبأخذ الترتيب للمعادلة (B2) نتوصل إلى:

$$\left( \frac{\Omega^2}{N_{\Delta x}} \right)_n = \frac{(\alpha-1)}{(2\alpha-1)} V S_n E \quad (B3)$$


---



---

### Appendix C البرنامج

c\*

- c A program ZAI-NV for calculating the nuclear\*
- c variance with different alphas , and electronic\*
- c variance with different chis\*

c\*

Dimension Vrn(14,6), Vre(14), Vrb(14), Vrne(14,6), EMeV(14(

```

      ·1Sn(14,6),s(6   (
      data s/1.5,1.6,1.7,1.8,2.,2.5/
      data z0,z2,Aml,Am2/92.,13.,235.,26./
      data z0,z2,Aml,Am2/92.,79.,235.,197./
      data EMeV/0.5,1.,1.5,2.,2.5,4.,6.,8.,10.,12.,14.,16.,20.,30./
      real z1
      nout=6
      open(nout,file='ZAINAB.DAT'
      IEmax=14
      Ismax=6
      c23=2./3.
      pi=22./7.
      z23=z1**c23+z2**c23
      a12=0.8853/sqrt(z23)
      u=4.*Aml*Am2/(Aml+Am2)**2
      do is=1,ismax
      rs=1./s(is(
      rs2=2.*rs
      u1=1.-2./s(is(
      u2=2.*(-1./s(is((
      u3=((Aml*(3.*s(is)-1.))/(Am2*2.*s(is)**2))**rs
      do IE=1,IEmax
      vs=40.2*EMeV(ie) ! vs in a.u
      z1 is the effective charge
      z1=z0*(1.-exp(-0.92*sqrt(vs)/z0**c23))
      z1=z0
      if(s(is).eq.2.)then
      Sn(ie,is)=((pi**2/2.7183)*(z1*z2/sqrt(z23))*Aml)/(Aml+am2)/10**3
      else
      Sn(ie,is)=((pi/(s(is)-1.))*(z1*z2)**rs2*u3*(a12*sqrt(u))**u2
      *1EMeV(ie)**u1)/10**3
      end if
      Vrn(ie,is)=((s(is)-1.)/(2.*s(is)+1.))*u*Sn(ie,is)*EMeV(ie)
      vss=40.2*EMeV(ie
      chi=vss/z2
      Lx=1.36*sqrt(chi)-0.016*chi**1.5
      if(chi.gt.3.)then
      Vre(ie)=(4.*pi*z1**2*z2)/10**3
      else
      Vre(ie)=(4.*pi*z1**2*z2*Lx/2.)/10**3
      end if
      end do
      end do
      write(nout,1(
      1format(//EMeV  Sn1  Sn2  Sn3  Sn4  Sn5  Sn6
      1
      do i=1,iemax
      write(nout,2)EMeV(i),Sn(i,1),Sn(i,2),Sn(i,3),Sn(i,4),Sn(i,5,(
      1Sn(i,6(
      2format(f8.4,6f12.4(

```

```

        end do
        write(nout,3(
3format(///'EMeV      Vm1     Vm2     Vm3     Vm4
1      Vrn5     Vrn6      (
        do i=1,iemax
            write(nout,4)EMeV(i),Vm(i,1),Vm(i,2),Vm(i,3),Vm(i,4),Vm(i,5(
            '1Vm(i,6(
4format(f5.2,2x,6(f12.4,3x((
            end do
            write(nout,5(
5format(///' alpha   Sn1     Sn2     Sn3      (
        do is=1,ismax
            write(nout,6)s(is), Sn(1,is), Sn(5,is), Sn(10,is (
6format(f5.2,2x,3f12.4(
            end do
            write(nout,7(
7format(///'EMeV      Vre      (
        do i=1,iemax
            write(nout,8)EMeV(i),Vre(i (
8format(f5.2,2x,f12.4(
            end do
        end
    
```

### المصادر References

- [1] E. Bound and P. Hvelplund, Phy. Rev. A4,526(1971)
- [2] Friedland et. al ,Nucl. Instr. And Meth.,163(1980)
- [3] D.C. Santry, R.D. Werner, Nucl. Instr. and Meth. B 5(1984)
- [4] J. Lindhard, M. Scharff, K. Dan, Vidensk. Mat. Fys. 27(1953)
- [5] L. Northeliff ,A. Rev. Nucl. Sci.,13,67(1963)
- [6] Bohr .N, philos mag. 30,181,(1915)
- [7] Lidhard J.and scharff M., Dan. Mat .Fys ,27, 15(1963)
- [8] Lenuard w. and geissel H., Nucl. Innst. Meth, B 27, 10, (1983)
- [9] Y.C. Yu a et. al , K.M. Chen Nucl. Instr. and Meth. B 249(2006)
- [10] J.Lindherd, Scharff M. and schiolt H, Mat.. Vid. 33, 14 (1963)
- [11] H. Ammi a, Nucl. Instr. and Meth. in Phy. Research B198 (2002)
- [12] M. Behar1, Eur. Phys. J. D **64**, 297–301 (2011)
- [13] Y. Zhang, W.J. Weber, Nucl. Instr. Methods B **267**, 1705(2009)
- [14] L. Strasser1, U.P.B. Sci. Bull., Series A, Vol. 71, Iss. 3,( 2009)

The End